



## The effect of glycerol and nanocellulose on hydrophilic and mechanical properties of gelatin-carboxymethyl cellulose composites

Sanaz Golmohammadzadeh<sup>1</sup>, Farid Amidi-Fazli\*<sup>1</sup>

Received: 2021.06.08

Revised: 2021.08.29

Accepted: 2021.11.22

Available Online: 2021.11.22

### How to cite this article:

Amidi-Fazli, F., Golmohammadzadeh, S. (2022). The effect of glycerol and nanocellulose on hydrophilic and mechanical properties of gelatin-carboxymethyl cellulose composites. *Iranian Food Science and Technology Research Journal*. 18 (5), 681-697.

### Abstract

**Introduction:** The biodegradability of synthetic plastics derived from petroleum is a very slow process and complete decomposition of them lasts several years. This increases environmental pollution. Extensive efforts have been made to develop and improve biopolymers-based packaging. Biopolymers derived from renewable agricultural resources are an appropriate alternative to synthetic plastics. The use of nanotechnology in the field of polymer science has led to the production of nanocomposite polymers. The valuable nanocomposites would be produced if natural nanoparticles are used in composites preparation. Because of the importance of nanocomposites in the production of biodegradable films and due to desired properties of gelatin and carboxymethyl cellulose in film production, this study aimed to investigate the effect of glycerol and nanocellulose on the properties of gelatin-carboxymethyl cellulose nanocomposites.

**Materials and Methods:** To prepare 12 different treatments based on statistical design, 1 g of gelatin and 1 g of carboxymethylcellulose were dissolved in distilled water to form a uniform solution. Then, glycerol as a plasticizer was added to the prepared solutions at different levels (20 to 60% w/w). The determined amount of nanocellulose (0- 30% w/w), based on the biopolymers weight, was added to the cooled blend at 70°C. Nanocellulose was extracted from cotton through the chemical method, cotton was gone under chemical hydrolysis by the sulfuric acid solution (65% w/v). The properties of gelatin-carboxymethylcellulose nanocomposites were studied. The produced nanocellulos evaluated by scanning electron microscopy and X-ray diffraction techniques. The thickness of the films was measured using a caliper with a precision of 0.01. At five different parts of each film. Water vapor flux and water vapor permeability through the film samples were determined. The dry matter of 20× 20 mm film samples before and after immersion in 50 ml of distilled water for 24h at 25 °C was determined to calculate the solubility in water of the films. To measure the moisture absorption of the nanocomposite samples, 20× 20 mm film pieces were kept in a container containing potassium sulfate saturated solution (RH= 97%) at 25°C for 4 days. Films were weighted initially and at the end of the experiment. Sessile drop method, a common technique for determining the wetting properties of solid surfaces, was then used to determine the contact angle. Ultimate tensile strength and elongation at break were measured. The belt-shaped sample (8× 1 cm) of the film was stretched by the instrument at a velocity of 1 mm/s. The color and transparency of the samples were evaluated in the black box by image processing technique. Total color difference ( $\Delta E$ ), yellow index (YI), and white index (WI) of the samples were calculated. Treatments were prepared according to central composite design (CCD) and were statically analyzed by response surface method (RSM).

**Results and Discussion:** The prepared films showed low water vapor permeability ( $3.62 \times 10^{-11}$  to  $2.23 \times 10^{-12}$  gm/m<sup>2</sup>Pas). The lowest amount of water vapor permeability was obtained when the low level of nanocrystalline cellulose (4.4%) was used. The high amounts of glycerol and nanocellulose increased the solubility of the films and even in some

1. M.Sc. graduate of Food Science and Technology, Sofian Branch, Islamic Azad University, Sofian, Iran.

2. Assistant professor, Department of Food Science and Technology, Sofian Branch, Islamic Azad University, Sofian, Iran.

(\*Corresponding Author Email: [amidi\\_f@yahoo.com](mailto:amidi_f@yahoo.com))

DOI: [10.22067/IFSTRJ.2021.70884.1057](https://doi.org/10.22067/IFSTRJ.2021.70884.1057)

treatments the samples were completely dissolved in water. The hydrophilic nature of the gelatin and carboxymethyl cellulose used in the preparation of composites may be the reason for the high solubility of the produced films. At the same time, the samples showed high moisture absorption. Moisture absorption decreased as a result of the glycerol content increased, also the effects of the presence of nanocrystalline cellulose as a filler on the moisture absorption decrease cannot be neglected. A moderate contact angle of about  $60^\circ$  was observed, the interactions between the polar and the hydroxyl groups of the biomaterials used in the production of composites caused different behaviors observed in the various treatments. The interaction of nanocellulose and glycerol had a significant effect on the contact angle. The films had high ultimate tensile strength (84.37 MPa) while the elongation at break was 4.14% for the same treatment, which indicates low flexibility of the produced films. The color of the samples was evaluated as suitable. The use of 60% glycerol and 4.4% nanocellulose results in the production of films with desirable properties. The use of gelatin and carboxymethylcellulose produced composites that had improved properties in the terms of water vapor permeability and surface wetting compared to pure films.

Composites made of gelatin and carboxymethylcellulose showed high ultimate tensile strength, although the elongation at break of them was not desirable. In terms of barrier properties against the water vapor, prepared composites demonstrated improved properties when compared to other bio-based made films. On the other hand, in terms of hydrophilicity, they are classified as moisture-sensitive films, which limits their use for foods with high moisture content. The use of carboxymethyl cellulose can improve the water vapor permeability of pure gelatin films. Also, the use of gelatin increases the contact angle of water of pure carboxymethyl cellulose films. Gelatin-carboxymethyl cellulose nanocomposite contains 60% glycerol and 4.4% nanocellulose presents improved and desirable properties.

**Keywords:** Gelatin, Carboxymethyl cellulose, Nanocellulose, Hydrophilicity, Mechanical properties.

## مقاله علمی-پژوهشی

# تأثیر گلیسروول و نانوسلولز بر ویژگی‌های آبدوستی و مکانیکی کامپوزیت‌های ژلاتین-کربوکسی متیل سلوولز

ساناز گل محمدزاده خیابان<sup>۱</sup>- فرید عمیدی فضلی<sup>۲\*</sup>

تاریخ دریافت: ۱۴۰۰/۰۳/۱۸

تاریخ بازنگری: ۱۴۰۰/۰۶/۰۷

تاریخ پذیرش: ۱۴۰۰/۰۹/۰۱

### چکیده

تلash‌های گسترده‌ای جهت توسعه بسته‌بندی‌های بر پایه بیوپلیمرهای زیست تخریب‌پذیر و بهبود کارایی آنها صورت گرفته است. بیوپلیمرها که از منابع قابل تجدید کشاورزی حاصل می‌شوند جایگزین مناسب برای پلاستیک‌های سنتزی به شمار می‌روند. اثر گلیسروول (۲۰٪) به عنوان نرم‌کننده و نانوکریستال سلوولز (۳۰٪) به عنوان پرکن بر ویژگی‌های نانوکامپوزیت‌های ژلاتین-کربوکسی متیل سلوولز مطالعه گردید. نانوسلولز مورد استفاده به روش هیدرولیز اسیدی تولید و توسط میکروسکوپ الکترونی روشی و پراش اشعه ایکس مورد ارزیابی قرار گرفت. پس از تولید نانوکامپوزیت‌ها به روش تبخیر حلال آزمون‌های نفوذپذیری نسبت به بخار آب، حلالیت در آب، جذب رطوبت، زاویه تماس، خواص رنگی و خواص مکانیکی انجام یافت. فیلم‌های تهیه شده زمانی که از نانوسلولز کمتری استفاده شد نفوذپذیری کمتری نسبت به بخار آب از خود نشان دادند ( $gm/m^2 Pas = 62 \times 10^{-12} \times 2/23$ ) ولی غلظت‌های بالای نانوکریستال سلوولز موجب افزایش نفوذپذیری نسبت به بخار آب می‌شود. با افزایش میزان گلیسروول به دلیل تشکیل پیوندهای جدید و از دسترس خارج شدن گروه‌های هیدروکسیل از مقادیر جذب رطوبت کاسته می‌شود البته در مقادیر پایین نانوکریستال سلوولز وارد فضاهای خالی در ماتریکس فیلم شده و از حرکت آزادانه ملکول‌های آب ممانعت به عمل می‌آورد. همین طور نمونه‌های تولید شده مقادیر جذب رطوبت بالا داشتند و زاویه تماس متوسطی در حدود ۶۰ درجه از خود نشان دادند. در سطوح ثابت نانوکریستال سلوولز با افزایش مقدار گلیسروول زاویه تماس کاهش یافته است چرا که گلیسروول به عنوان یک ترکیب چند الکلی از خاصیت آبدوستی زیادی برخوردار است. اثر متقابل نانوسلولز و گلیسروول بر این ویژگی معنی‌دار است. در تیمارهای حاصل از قدرت بالایی برخوردار هستند و حداقل استحکام کششی  $84/37$  مگاپاسکال به دست آمد این مقدار در مورد تیماری است که از ۴۰ درصد گلیسروول بدون افزودن نانوسلولز تهیه شده بود بدست آمد افزودن نانوسلولز به مقدار ۴ درصد باعث کاهش جزئی در استحکام کششی می‌شود. رنگ نمونه‌ها مطلوب ارزیابی گردید. استفاده از گلیسروول به میزان ۶۰ درصد و نانوسلولز به مقدار  $4/4$  درصد سبب تولید فیلم با ویژگی‌های مطلوب می‌شود. به کارگیری ژلاتین و کربوکسی متیل سلوولز باعث تولید فیلم‌هایی گردید که از نظر نفوذپذیری نسبت به بخار آب و نم شوندگی سطوح نسبت به فیلم‌های خالص دارای ویژگی‌های بهبود یافته‌ای هستند.

**واژه‌های کلیدی:** ژلاتین، کربوکسی متیل سلوولز، نانوسلولز، خواص آبدوستی، خواص مکانیکی.

### مقدمه

آنها چندین سال به طول می‌انجامد و این امر باعث افزایش آلودگی‌های زیست محیطی می‌گردد. لذا طی سال‌های اخیر، یافتن جایگزینی مناسب برای پلاستیک‌های سنتزی، به طوری که زیست تخریب‌پذیری بالایی داشته و آلودگی زیست محیطی کمتری بر جای بگذارد توجه محققین را به خود جلب کرده است.

از پلیمرهای سنتزی، پلاستیکی، کاغذ و فلزات برای بسته‌بندی‌های مواد غذایی به طور گسترده استفاده می‌شود که دلیل آن فراوانی، در دسترس بودن و قیمت کم این مواد است (Zahed Karkaj and Peighambardoust, 2018). زیست تخریب‌پذیری مواد پلاستیکی سنتزی حاصل از مشتقان نفتی فرایندی بسیار کند بوده و تجزیه کامل

\* - نویسنده مسئول: Email: amidi\_f@yahoo.com  
DOI: 10.22067/IFSTRJ.2021.70884.1057

۱- دانش‌آموخته کارشناسی ارشد، گروه علوم و مهندسی صنایع غذایی، واحد صوفیان، دانشگاه آزاد اسلامی، صوفیان، ایران.

۲- استادیار، گروه علوم و مهندسی صنایع غذایی، واحد صوفیان، دانشگاه آزاد اسلامی، صوفیان، ایران.

اسیدهای آمینه قطبی تشکیل می‌دهد. به همین دلیل پروتئین‌ها خصوصیات بازدارندگی خوبی در برابر اکسیژن و گازهای دیگری مانند دی‌اکسید کربن دارند. قطبیت پروتئین‌ها خصوصیات بازدارندگی فیلم‌های پروتئینی را تعیین می‌کند. فیلم‌های پروتئینی نفوذپذیری زیادی به مواد قطبی مانند بخار آب و نفوذپذیری کمی به مواد غیرقطبی مانند اکسیژن، آروما و روغن دارند. نفوذپذیری فیلم‌های پروتئینی به مواد قطبی و غیرقطبی در حضور نرم‌کننده‌ها و رطوبت نسبی زیاد افزایش می‌یابد. برای ایجاد خواص بازدارندگی مطلوب در فیلم پروتئینی باید نرم‌کننده‌ها و پروتئین مناسب را انتخاب نمود و شرایط تشکیل فیلم را بهینه کرد.

در بین پلیمرهای طبیعی، ژلاتین که از تجزیه حرارتی یا شیمیایی کولازن حاصل می‌شود، به علت سازگاری با محیط و قابلیت تجزیه پذیری و ارزان بودن مورد توجه بسیار قرار گرفته است. ژلاتین پروتئینی با رنگ زرد متمایل به قهوه‌ای است و تقریباً بی بو و بدون مزه می‌باشد و در آب گرم، گلیسرول و اسیداستیک محلول و در حلال‌های آلی غیر محلول می‌باشد. ژلاتین در دما حدود ۳۲ تا ۳۵ درجه حدود ۵ تا ۱۲ برابر وزن خود آب جذب می‌کند و به یک ژل آبکی تبدیل می‌شود. (Bower et al., 2006) فیلم‌های ژلاتینی نسبت به رطوبت حساس بوده و حلالیت بالایی در آب دارند. یکی از راه‌های رفع نقایص فیلم‌های پلیمری زیستی ایجاد ترکیب‌هایی از آنها با نانو ذرات است که موجب تحقیق و توسعه نانوکامپوزیت‌های زیستی شده است. از کاربردهای ژلاتین می‌توان به عنوان قوام‌دهنده، شفاف‌کننده و عامل پوشش‌دهنده در صنایع غذایی اشاره کرد (Asgar et al., 2010). کاربرد ژلاتین در زمینه توانایی تولید فیلم و همچنین قابلیت استفاده از آن عنوان یک پوشش خارجی برای محافظت غذا از خشک شدن، نور و اکسیژن، مورد بررسی قرار گرفته است (Ayrancı and Tunc, 2003). فیلم‌های ژلاتینی علیرغم برخورداری از ویژگی‌های ممانعتی خوب در برابر اکسیژن، قادر خواص مکانیکی و ممانعتی مناسب در برابر رطوبت هستند که کاربردهای بالقوه شان را محدود می‌کند. ژلاتین ماهی سرد آبی فیلم‌های با خواص و ظاهر مناسب تشکیل می‌دهد، ولی مشکل اصلی آن آب دوستی نسبتاً بالا و پایین بودن خواص ممانعت کننده‌گی فیلم‌های حاصل از آن در برابر رطوبت در مقایسه با فیلم‌های سنتزی رایج می‌باشد که باعث محدود شدن استفاده از این بیopolymer در زمینه‌های مختلف می‌شود. در دهه‌های گذشته نیز علاقه روزافزونی در رابطه با کاربرد آن به عنوان ماده بسته‌بندی غذا به وجود آمده است (Gomez-Guillen et al., 2007).

طی تحقیقی فیلم‌های پکتین-ژلاتین، پکتین-ژلاتین-گلوتارآلدهید و ژلاتین خالص تولید شد و این فیلم‌ها مقایسه گردیدند. در این بررسی مشخص شد که هیدروژل تولید شده که حاوی پکتین بود نسبت به ژلاتین خالص تورم کمتری داشت

بیopolymerهای خوارکی با زیست تخریب‌پذیری بالا که از منابع قابل تجدید کشاورزی حاصل می‌شوند، گزینه‌ای مناسب در این زمینه به شمار می‌روند. برای این منظور می‌توان از پلی‌ساکاریدها، پروتئین‌ها، کربوهیدرات‌ها، چربی‌ها و یا مخلوطی از آن‌ها استفاده کرد. پلیمرهای زیست تخریب‌پذیر مورد استفاده در تولید فیلم‌های زیست تخریب‌پذیر را می‌توان به دو دسته طبیعی (بیopolymerها) و سنتزی تقسیم‌بندی کرد. پلی‌ساکاریدها از جمله مهم‌ترین بیopolymerهای مورد استفاده در تولید فیلم‌های زیست تخریب‌پذیر می‌باشند (Abolghasemi et al., 2012).

استفاده از فناوری نانو در زمینه علم پلیمر به تولید پلیمرهای نانوکامپوزیت منجر شده است. نانوکامپوزیت‌ها پلیمرهایی هستند که در آن‌ها از نانوذرات آلی یا غیرآلی مختلفی که دارای اشکال کروی، رشته ای یا صفحه‌ای هستند استفاده می‌شود (Cole and Bergeson, 2006). این فناوری روز به روز گسترش پیدا کرد و طی سال‌های اخیر استفاده از این نانو مواد در مورد فیلم‌های زیست تخریب‌پذیر نیز مورد توجه قرار گرفته است (Kawasumi, 2004). تهییه نانوکامپوزیت‌ها در واقع تحول اساسی در تولید کامپوزیت‌ها محسوب می‌شود. چنانچه نانوذرات مورد استفاده از مواد طبیعی باشند، ارزش روش تهییه نانوکامپوزیت‌ها نیز بسیار بالا خواهد بود. اگرچه مواد بسته‌بندی طبیعی کاملاً جایگزین بسته‌بندی‌های سنتزی نگردیده‌اند، اما پتانسیل کاهش مصرف آن‌ها را دارند و با محدود کردن مهاجرت رطوبت، آروما، چربی و غیره از مواد غذایی منجر به حفظ کیفیت محصول می‌شوند (Silva et al., 2009).

برای تولید فیلم‌های طبیعی از پروتئین‌ها، پلی‌ساکاریدها، چربی‌ها یا ترکیبی از این مواد استفاده می‌شود (Guilbert, 1986). تولید فیلم‌های مختلف در بسته‌بندی مواد غذایی یکی از کاربردهای مهم نانوکامپوزیت‌ها است که در این مورد عواملی نظری مقاومت فیلم در مقابل آسیب‌های مکانیکی، نفوذپذیری نسبت به رطوبت و گاز، زیست تخریب‌پذیری، قابلیت حفظ تازگی فرآوردها و جلوگیری از الودگی مواد غذایی از اهمیت بالایی برخوردار است. بنابرین انتخاب ترکیبات مناسب در تهییه فیلم‌های نانوکامپوزیتی و بهبود ویژگی‌های آنها مهم می‌باشد (Espitia et al., 2013; Sekhon, 2010).

واحدهای تشکیل‌دهنده پروتئین‌ها، اسیدهای آمینه هستند. پروتئین‌های طبیعی موجود در مواد غذایی حداقل از ۲۰ اسید آمینه با زنجیرهای جانبی مختلف تشکیل شده‌اند. پروتئین‌ها هتروپلیمر هستند و ساختار ویژه آن‌ها توسط پیوندهایی که از نظر نوع، موقعیت و انرژی مختلف هستند پایدار می‌گردند. ساختار اول پروتئین‌ها از اتصال اسیدهای آمینه مختلف توسط نوعی پیوند کوالنسی که پیوند پیتیدی نامیده می‌شود تشکیل می‌شود. بخش عمده‌ای از اسیدهای آمینه پروتئین‌ها را

## مواد و روش‌ها

### تولید نانوکریستال سلولز (NCC)

نانوسلولز مورد استفاده در تولید نانوکامپوزیت‌ها به روش شیمیایی طبق شیوه به کار برده شده توسط **Xiaodong** و همکاران (۲۰۰۷) با کمی تغییرات از پنهه بهدست آمد. بهمنظور حذف ناخالصی‌ها و بالا بردن درجه خلوص سلولز، پنهه در دمای اتاق به مدت ۲۴ ساعت در محلول سود ۲ درصد غوطه‌ور شد. در مرحله بعد شستشوی الیاف پنهه بهمنظور حذف کامل سود با آب مقطر انجام پذیرفت (از معرف فنل فتالین برای تشخیص حذف کامل محلول سود از پنهه استفاده شد). هیدرولیز اسیدی با استفاده از سولفوریک اسید ۶۵٪ و با نسبت ۲۰ گرم اسید به ازای ۱ گرم در دمای ۵۰°C به مدت ۳ ساعت تحت همزی مداوم با سرعت ۶۰۰ rpm انجام پذیرفت. در مرحله بعد عمل خشی‌سازی با سود ۱۰٪ تا رسیدن به pH ۵/۵ صورت گرفت. سوسپانسیون بهدست آمده در یخچال نگهداری گردید و پس از تعیین ماده خشک سوسپانسیون حاصل مقدار موردنیاز در تولید فیلم‌ها مورد استفاده قرار گرفت.

### تهیه فیلم

برای تهیه تیمارهای مختلف پیشنهادی بر اساس طرح آماری (جدول ۱)، ابتدا ۱ گرم ژلاتین و ۱ گرم کربوکسی متیل سلولز در آب مقطر حل نموده تا بافتی به حالت یکنواخت ایجاد گردد. بعد از حل شدن ژلاتین و کربوکسی متیل سلولز در آب، گلیسروول که رایج‌ترین نرم‌کننده مورد استفاده در تولید فیلم می‌باشد را به مقدار ۲۰ تا ۲۰ درصد بر اساس وزن بیوبلیمرها به سوسپانسیون اضافه کرده و به مدت ۲۰ دقیقه به حالت سکون قرار داده شد. بهمنظور انجام عمل ژلاتینیزاسیون، سوسپانسیون به مدت ۶۰ دقیقه و در دمای ۹۰ درجه سلسیوس روی بن ماری قرار داده شد در این مدت جهت بهتر حل شدن و ژلاتینه شدن هر ۱۰ دقیقه محلول مورد نظر هم زده شد پس از گذشت یک ساعت نانوسلولز مشخص شده در فرمولا‌سیون پیشنهادی (در سطوح صفر تا ۳۰٪) بر مبنای وزن بیوبلیمر به محتویات ارلن اضافه گردید تا ویژگی‌های مورد آزمون کامپوزیت‌ها در دامنه وسیعی از سطوح مختلف نانوسلولز مورد مطالعه قرار گیرد و حجم آن به ۲۰۰ میلی‌لیتر رسانده شد و روی هیتر مگنتدار در دمای ۷۰ درجه سلسیوس به مدت ۳۰ دقیقه حرارت‌دهی و مخلوط گردید. سوسپانسیون آمده شده را بهوسیله پیپت در داخل پلیت‌های پلی‌استایرن شماره ۱۰ به مقدار ۳۰ میلی‌لیتر منتقل گردید و جهت خشک شدن فیلم‌ها از آون با دمای ۵۰ درجه سلسیوس به مدت زمان ۱۴ ساعت استفاده شد.

و در مقابل ویژگی‌های مکانیکی آن همانند کشسانی بهبود یافت (Farris et al., 2011).

کربوکسی متیل سلولز (CMC) یکی از مشتقات سلولز بوده و بیوبلیمری خطی و محلول در آب است. CMC توانایی تشکیل فیلم‌های شفاف، پیوسته و یکنواخت را دارد (Choi & Simonsen, 2006). تاکنون مطالعات متعددی بر روی ویژگی‌های فیلم‌های حاصل از مشتقات سلولز و از جمله کربوکسی متیل سلولز انجام یافته است (Ayrancı & Tunc, 2001; Park et al., 1993) نشان داده است که فیلم‌های تهیه شده از CMC در بین بیوبلیمرها دارای مقاومت مکانیکی متوسطی بوده و به نفوذ روغن‌ها مقاوم و همچنین شفاف، فاقد بو و طعم می‌باشند (Park et al., 1993). اثرات اسید اولئیک به عنوان یک CMC و همکاران (۲۰۱۱) اثرات اسید اولئیک به عنوان یک CMC ماده آبگریز خوارکی را بر روی خواص بازدارندگی فیلم‌های نسبت به بخار آب بررسی کردند. نتایج نشان داد، که مقاومت فیلم‌ها نسبت به رطوبت به طور قابل ملاحظه‌ای افزایش می‌یابد (Cheng و همکاران Ghanbarzadeh et al., 2011). همچنین (Ghanbarzadeh et al., 2011) نیز گزارش کردند که اضافه کردن روغن پالم اولئین به فیلم‌های CMC خواص بازدارندگی نسبت به بخار آب را بهبود می‌بخشد (Almasi, Cheng et al., 2008) و همکاران (۲۰۱۸) در تحقیقی اظهار شده است که با افزایش میزان CMC در کامپوزیت‌های نشاسته-کربوکسی متیل سلولز نفوذپذیری نسبت به بخار آب فیلم‌ها کاهش می‌یابد. کمترین نفوذپذیری نسبت به بخار آب در سطح ۱۵ درصد CMC به دست آمد (Almasi et al., 2010).

نانوسلولز از جمله نانوذراتی است که در طی سال‌های اخیر، تأثیر آن به عنوان نانوتقویت کننده، در پلیمرهای مختلف مورد مطالعه قرار گرفته است. مقاومت مکانیکی بالا، نسبت سطح به حجم زیاد، چگالی پایین، سهولت دسترسی، قیمت مناسب و زیست تخریب‌پذیری از جمله مهمترین ویژگی‌هایی است که نانوسلولز را از سایر نانوتقویت‌کننده‌ها متمایز می‌سازد. از این رو، تأثیر تقویت‌کننده‌ای این نانوذره، در پلیمرها و بیوبلیمرهای مختلفی مورد مطالعه قرار گفته است (Almasi et al., 2015; Cherian et al., 2011; Kaushik et al., 2010) در سال‌های گذشته مطالعات گسترده‌ای در زمینه استفاده از نانوکریستال‌های پلی‌ساقاریدی مختلف با ماتریکس پلی‌مری و تولید بیونانوکامپوزیت‌ها از این طریق انجام گرفته است (Habibi & Dufresne, 2008). با توجه به اهمیت ترکیبات نانوکامپوزیتی در تولید فیلم‌های زیست تخریب‌پذیر و اثرات مطلوب ژلاتین و کربوکسی متیل سلولز در تهیه این بیوفیلم‌ها، هدف از این تحقیق بررسی اثر گلیسروول و نانوسلولز بر ویژگی‌های نانوکامپوزیت‌های ژلاتین-کربوکسی متیل سلولز می‌باشد.

به قطر ۵ میلی‌متر بر روی درب بطری ایجاد شده بود. بطری‌ها قبل از قرار گرفتن داخل محفظه و هر ۲۴ ساعت به مدت ۴ روز توزین شدند. با رسم نمودار افزایش وزن بطری در مقابل زمان برای هر نمونه و به دست آوردن شیب خط حاصل شار بخار آب و نفوذپذیری نسبت به بخار آب از معادلات زیر تعیین شد:

$$WVTR = \frac{\Delta w}{tA} \quad (2)$$

$$WVP = \frac{WVTR \times X}{P(R_1 - R_2)} \quad (3)$$

WVP: آهنگ انتقال بخار آب (g/sm<sup>2</sup>), WVTR: افزایش وزن (g), t: زمان (s), A: مساحت فیلم (gm/m<sup>2</sup>sPa) در معرض انتقال بخار آب (m<sup>2</sup>), X: ضخامت فیلم (m), P: فشار بخار آب (Pa), R<sub>1</sub>: رطوبت نسبی داخل دسیکاتور (%), R<sub>2</sub>: رطوبت نسبی داخل ویال (%).

### حالیت در آب

حالیت در آب عبارت است از درصد ماده خشک فیلم که پس از ۲۴ ساعت غوطه‌وری در آب مقطر، به حالت محلول در می‌آید. برای اندازه‌گیری میزان حالیت در آب ماده خشک اولیه نمونه‌های فیلم با بعد ۲۰ mm × ۲۰ mm در آون ۱۰۵°C تعیین گردید. در مرحله بعد نمونه‌های بیوفیلم داخل ظروف درب‌دار حاوی ۵۰ ml آب مقطر در دمای ۲۵°C به مدت ۲۴ ساعت غوطه‌وری گردید و پس از سپری شدن زمان مقدار باقیمانده فیلم از آب خارج شده و ماده خشک آن تعیین شد مقدار حالیت مربوط به هر نمونه از معادله زیر به دست آورده شد (Romero et al., 2005):

$$WS = \frac{DM_1 - DM_2}{DM_1} \times 100 \quad (4)$$

WS: حالیت در آب (%), DM<sub>1</sub>: ماده خشک اولیه فیلم (%), DM<sub>2</sub>: ماده خشک فیلم پس از غوطه‌وری در آب (%).

### جدب رطوبت

برای اندازه‌گیری میزان جدب رطوبت نمونه‌های نانوکامپوزیت قطعاتی از فیلم با ابعاد ۲۰ mm × ۲۰ mm در آون ۵°C به مدت ۲۴ ساعت قرارداده شد پس از توزین، نمونه‌ها در محفظه حاوی محلول اشباع سولفات‌پتابسیم (RH=۹۷%) در دمای ۲۵°C قرارداده شدند و پس از گذشت ۴ روز مجدد توزین شدند. میزان جدب رطوبت از رابطه زیر محاسبه شد (Angles and Dufresne, 2001):

$$MA = \frac{W_2 - W_1}{W_1} \times 100 \quad (5)$$

MA: جدب رطوبت (%), W<sub>1</sub>: وزن اولیه فیلم (g), W<sub>2</sub>: وزن نهایی فیلم (g).

### میکروسکوپ الکترونی روبشی (SEM)

برای تعیین شکل نانوکریستال سلوزل به دست آمده از میکروسکوپ الکترونی روبشی (فیلیپس، مدل XL30، هلند) استفاده شد. قدرت شتاب دهی الکترون‌ها ۲۸ kV بوده و تصاویر با درشت نمایی‌های مختلف از ساختار نانوکریستال سلوزل تهیه گردید.

### پراش پرتو ایکس (XRD)

برای انجام آزمون پراش پرتو ایکس، پراش سنج (PanalyticalXpert PRO X Ray Diffractometer) مدل Panalytical Xpert Pro MPD (هلند) ساخت شرکت Panalytical (Xpert Pro MPD) استفاده شد. برای انجام آزمون ژئوتراور تولید اشعه ایکس در 40 ma (kv) ۴۰ تنظیم شده و نمونه‌ها در معرض اشعه ایکس با طول موج Å ۰/۵۴۰۵ قرار گرفتند. تشعشعات بازتابشی از نمونه، در دمای محیط و در محدوده زاویه (2θ=10-80°) جمع‌آوری و نمودار مربوط به شدت بازتابش آنها رسم گردید. سرعت اسکن ۱ ثانیه و اندازه گامها ۰/۰۵ mm بود. بهمنظور تعیین درصد کریستالینیتی نانوسلوزل به دست آمده از روش Segal و همکاران (1959) استفاده شد بر طبق این روش میزان کریستالینیتی سلوزل برابر است با:

$$CI = \frac{I_{002} - I_{AM}}{I_{002}} \times 100 \quad (1)$$

CI: اندیس کریستالینیتی، I<sub>002</sub>: شدت پیک در 2θ=22.7°، I<sub>AM</sub>: شدت پیک در 2θ=18° (Segal et al., 1959).

### ضخامت

پس از خشک کردن محلول نانوکامپوزیت‌های تولید شده ضخامت بیوفیلم‌های حاصل با استفاده از کولیس (Mitutoyo, Japan) با دقت ۱/۰۰۰ اندازه گرفته شد. بدین منظور سنجش ضخامت در ۵ قسمت مختلف بیوفیلم‌ها صورت پذیرفت و میانگین ضخامت‌های اندازه‌گیری شده به عنوان ضخامت نانوکامپوزیت گزارش شده است.

### شار بخار آب و نفوذپذیری (WVTR and WVP)

میزان شار بخار آب از میان بیوفیلم و مقادیر نفوذپذیری بخار آب برای نانوکامپوزیت‌های حاصل تعیین گردیدند. برای محاسبه ویژگی‌های ذکر شده طبق روش ASTM E96-95 عمل شد. بدین منظور داخل ویال ۳ گرم سولفات کلسیم ریخته شده در این حالت رطوبت نسبی ایجاد شده داخل ویال صفر درصد خواهد بود پس از قرار دادن قطعه فیلم در سر بطری که به اندازه آن برش خورده بود درب بطری محکم بسته شد و بطری‌های داخل محفظه حاوی محلول اشباع سولفات‌پتابسیم قرار گرفت رطوبت نسبی ایجاد شده داخل محفظه ۹۷% خواهد بود. جهت ایجاد امکان انتقال بخار آب از میان بیوفیلم منفذی

$$YI = (142/86b)/L \quad (7)$$

$$WI = 100 - [(100-L)^2 + a^2 + b^2]^{0.5} \quad (8)$$

### تجزیه و تحلیل آماری داده‌ها

۱۲ تیمار مختلف حاوی غلظت‌های مشخص گلیسروول و نانوسلوولز بر اساس طرح مرکب مرکزی و به شیوه سطح پاسخ تولید شده‌اند در مورد تجزیه و تحلیل داده‌ها از آزمون تجزیه واریانس با نرم‌افزار Minitab 18 استفاده شد. انجام محاسبات و رسم برخی از نمودارها در نرم‌افزار Microsoft office excel صورت پذیرفت.

### نتایج و بحث نانوسلوولز

پس از تولید نانوسلوولز جهت ارزیابی ماده تولید شده از میکروسکوپ الکترونی روبشی و آزمون پراش اشعه ایکس استفاده شد. ارزیابی‌ها نشان داد ابعاد نانوسلوولز تولید شده در محدوده  $10.8 - 54 \text{ }\mu\text{m}$  دارد از آنجایی که ابعاد اندازه گرفته شده زیر  $100 \text{ }\mu\text{m}$  می‌باشد لذا می‌توان ادعاد کرد ماده حاصل در زمرة مواد نانویی قرار می‌گیرد (Jordan et al., 2005).

در مورد تعیین کریستالینیتی  $3 \text{ }\mu\text{m}$  در گراف حاصل از آزمون پراش اشعه ایکس پدید آمد. وجود  $3 \text{ }\mu\text{m}$  در گراف اشعه ایکس حاکی از آن است که نمونه مورد آزمایش حاوی ساختار کریستالی است.  $3 \text{ }\mu\text{m}$  های مشاهده شده در زاویه‌های  $14/6, 16/6$  و  $22/7$  درجه قرار دارند. طبق رابطه سگال (۲-۵) میزان کریستالینیتی در نانوکریستال سلوولز برابر است با نسبت میزان ناحیه کریستالی به کل ماده (که شامل مناطق کریستالی و آمورف است).  $3 \text{ }\mu\text{m}$  به دست آمده در  $22/7$  درجه نشان دهنده ناحیه کریستالی و آمورف است.  $3 \text{ }\mu\text{m}$  به دست آمده در  $18$  درجه نماینده ناحیه آمورف می‌باشد. محاسبات نشان داد درصد کریستالینیتی نانوسلوولز به دست آمده برابر با  $82/10 \text{ \%}$  است. این مقدار بیشتر از اندیس کریستالینیتی به دست آمده برای ساقه ذرت، کاج نرزوئی و فیبر کنف می‌باشند که به ترتیب  $47, 47$  و  $77$  درصد گزارش شده اند ولی تقریباً برابر با مقدار کریستالینیتی سلوولز فیلتر شده کاغذ ( $83\%$ ) می‌باشد (Thygesen et al., 2005). هر واحد سلوولز از  $3 \text{ }\mu\text{m}$  گروه هیدروکسیل تشکیل شده است گروه‌های هیدروکسیل و توانایی آنها در ایجاد پیوندهای هیدروژنی نقش مهمی در ایجاد ساختار کریستالی و خواص فیزیکی سلوولز ایفا می‌کند. در گیاهان سلوولزی، سلوولز به شکل آمورف وجود دارد که توسط پیوندهای هیدروژنی بین ملکولی و داخل ملکولی به بخش‌های کریستالی متصل شده است (Klemm, 2005).

### زاویه تماس

از آنجایی که فیلم‌های کربوهیدراتی ماهیت آبدوستی دارند، اندازه گیری زاویه تماس آب، شاخص خوبی برای تعیین میزان آبدوست بودن آنها محاسبه می‌شود (Ghanbarzadeh et al., 2007). برای تعیین زاویه تماس، از روش قطره سیسیل که یک روش رایج در تعیین ویژگی مرتبط شوندگی سطوح جامد می‌باشد استفاده شد. با استفاده از یک سرنگ، یک قطره آب م قطره بر روی سطح نمونه‌ها قرار داده شد. توسط دوربین Canon sx500 با وضوح  $16 \text{ M}\text{g}\text{a}$  پیکسل از تماس قطره با سطح فیلم پس از گذشت  $5$  ثانیه عکس گرفته شد. برای محاسبه زاویه تماس آب با سطح فیلم از نرم‌افزار Image J 1.44p استفاده شد. محاسبه زاویه بین خط مماس بر قطره در نقطه تماس و خط رسم شده در راستای سطح فیلم، زاویه تماس را نشان می‌دهد.

### خواص مکانیکی

تعیین خواص مکانیکی توسط دستگاه آزمون سنج مکانیکی بروکفیلد (CT3، آمریکا) انجام یافت. استحکام کشش نهایی (حداکثر تنشی) است که یک ماده می‌تواند تحمل کند بدون این که دچار کرنش دائمی (گردد) بر حسب مگاپاسکال و کشش در نقطه شکست یا نسبت افزایش طول ( $\Delta L$ ) به طول اولیه فیلم بر حسب درصد فیلم‌ها طبق استاندارد ASTM D882-91 اندازه گیری گردیدند. از هر یک از فیلم‌ها نمونه به شکل تسمه با ابعاد  $1\text{cm} \times 1\text{cm}$  بریده شد و بین دو فک دستگاه قرار گرفت. فاصله بین دو فک دستگاه  $3/5 \text{ cm}$  و سرعت حرکت فک بالایی  $1 \text{ mm/s}$  می‌بود.

### رنگ‌سنجدی

رنگ و شفافیت نمونه‌ها داخل جعبه سیاه مورد ارزیابی قرار گرفت. تمام نمونه‌ها روی یک صفحه سفید استاندارد  $L=87.99, a=-1.64, b=-9.09$  (a, b)، قرار گرفتند و از سطح نمونه‌ها از فاصله  $10 \text{ }\mu\text{m}$  توسط دوربین دیجیتال تصویر تهیه شد. با استفاده از نرم‌افزار Image J 1.43u پارامترهای رنگی نمونه‌ها در سیستم RGB استخراج گردید. سپس RGB محاسبه شده به پارامترهای هانتر بر حسب روش‌نایابی (L)، قرمزی- سبز (a) و زردی- آبی (b) تبدیل شد و میزان رنگ بر حسب پارامترهای هانتر بیان شد. اختلاف رنگ نمونه‌ها ( $\Delta E$ ) با فرمول پیشنهادی Gennadios و همکاران (1996) و اندیس زردی (WI) و Huxsoll و Boun (1991) محاسبه گردید:

$$\Delta E = [(L_{\text{standard}} - L_{\text{sample}})^2 + (a_{\text{standard}} - a_{\text{sample}})^2 + (b_{\text{standard}} - b_{\text{sample}})^2]^{0.5} \quad (6)$$

بخار آب نیز گردید. می‌توان اظهار داشت احتمالاً نوع نانوماده استفاده شده و نوع پلیمر در میزان قدرت ممانعت کنندگی نانوماده استفاده شده تاثیر دارد.

تولید کامپوزیت با ترکیب ۲۰٪ کربوکسی متیل سلوزل به همراه ۸۰٪ ژلاتین حاوی ۳٪ گلیسرول سبب شد تا میزان نفوذ پذیری نسبت به بخار آب  $10^{-10} \text{ gm/m}^2 \text{ Pas}$  تا  $10^{-12} \text{ gm/m}^2 \text{ Pas}$  به دست آید. افزودن صمغ زانتان باعث افزایش نفوذ پذیری نسبت به بخار آب در مطالعه مذکور شد (Nur et al., 2016). ولی در تیمار شماره یک مطالعه حاضر که مقدار گلیسرول استفاده شده نزدیک به مقدار گلیسرول به کار برده شده در مطالعه مذکور است مقدار نفوذ پذیری نسبت به بخار آب برابر با  $10^{-12} \text{ gm/m}^2 \text{ Pas}$  است که نشان‌دهنده تاثیر نانوسلوزل به کار برده شده در فرمولاسیون تیمار مذکور است. اتصالات عرضی سبب تغییر در ساختار شبکه ژلاتین و افزایش میزان نفوذ پذیری می‌شود (de Carvalho et al., 2004). لذا افزودن صمغ زانتان به ترکیب ژلاتین-کربوکسی متیل سلوزل توانسته است نفوذ پذیری نسبت به بخار آب را بهبود بخشد بر عکس سبب افزایش میزان نفوذ پذیری نیز شده است در صورتی که استفاده از نانوسلوزل در تحقیق حاضر به دلیل پر کردن فضاهای خالی ماتریکس پلیمری سبب کاهش نفوذ پذیری گردیده است. مقدار نفوذ پذیری نسبت به بخار به دست آمده ( $10^{-10} \text{ gm/m}^2 \text{ Pas}$ ) تا  $10^{-10} \text{ gm/m}^2 \text{ Pas}$  (۲/۲۷×) برای فیلم‌های ژلاتین حاوی سطوح مختلف دی‌آلدئید کربوکسی متیل سلوزل به عنوان عامل اتصال دهنده عرضی نیز بیشتر از مطالعه حاضر می‌باشد (Mu et al. 2012).

### نفوذ پذیری نسبت به بخار آب

نفوذ پذیری نسبت به بخار آب فیلم‌های حاصل در محدوده  $10^{-12} \text{ gm/m}^2 \text{ Pas}$  تا  $10^{-11} \text{ gm/m}^2 \text{ Pas}$  قرار دارد (جدول ۱). کمترین مقدار نفوذ پذیری نسبت به بخار آب زمانی به دست می‌آید که از سطوح پایین نانوکریستال سلوزل در حد  $4/4$  درصد استفاده شده باشد. نانوذرات می‌توانند با افزایش ارتباطات عرضی بین زنجیره‌های پلیمر به عنوان فیلر و کاهش قدرت حرکتی زنجیره‌های پلیمری به علت پرکردن فضاهای خالی در ماتریکس پلیمر موجب کاهش نفوذ پذیری نسبت به بخار آب می‌شوند (Rouhi et al. 2013). استفاده از مقادیر زیاد نانوکریستال سلوزل موجب شده است به دلیل تجمع فیلر نفوذ پذیری نسبت به بخار آب در حد شانزده برابر افزایش یابد. از دیدگاه آماری نیز تنها عامل تاثیرگذار بر میزان نفوذ پذیری نسبت به بخار آب توان دوم نانوکریستال سلوزل بوده است ( $p < 0.05$ ). نانوسلوزل توانسته است نقش خود را به عنوان فیلر در غلظت‌های پایین به خوبی ایفا نماید و با ایجاد مسیر پر پیچ و خم در برابر مسیر حرکت ملکول‌های آب خاصیت ممانعتی نانوکامپوزیت‌های تولید شده را بهبود بخشد.

فیلم‌های خالص ژلاتین مقادیر بالای نفوذ پذیری نسبت به بخار آب را از خود نشان می‌دهند (بیش از پانصد برابر نسبت به مطالعه حاضر) در مطالعه انجام یافته مقدار  $10^{-9} \text{ gm/m}^2 \text{ Pas}$  (Shankar et al. 2015). این در حالی است ژلاتین به دست آورده شد با افزودن نانوکسید روی نه تنها از میزان نفوذ پذیری نسبت به بخار آب باسته نشد بلکه افزودن نانوذره باعث افزایش در نفوذ پذیری نسبت به

**جدول ۱- ترکیب تیمارهای مختلف و ویژگی‌های اندازه گیری شده شامل ضخامت، نفوذ پذیری نسبت به بخار آب و مشخصه‌های رنگی نانوکامپوزیت‌ها**  
**Table 1. The combination of different treatments and measured characteristics including thickness, water vapor permeability and color characteristics of nanocomposites**

Treatments تیمار	Glycerol (%) گلیسرول	NCC (%) نانوسلوزل	Thickness (μm) ضخامت	WVP ( $\times 10^{-12}$ gm/ $\text{m}^2 \text{sPa}$ )	ΔE	YI	WI
1	26	4.4	50	2.23	3.01	0.04	83.77
2	26	25.6	50	11.17	4.50	0.08	82.74
3	54	4.4	30	5.36	4.58	0.09	82.95
4	54	25.6	80	17.87	2.38	0.04	84.39
5	40	0	30	2.68	2.16	0.05	84.99
6	40	30	70	12.51	2.39	0.06	85.21
7	20	15	80	21.44	2.40	0.04	84.45
8	60	15	120	16.08	4.12	0.08	83.64
9	40	15	160	71.46	2.69	0.05	84.34
10	40	15	135	60.30	4.58	0.09	82.95
11	40	15	45	12.06	6.04	0.12	82.08
12	40	15	90	36.18	3.03	0.06	84.05

شده به میزان زیادی بهبود یابد. این امر حتی در سطوح بالای گلیسرول نیز مشاهده می‌شود. سطوح مختلف گلیسرول استفاده شده در تحقیق حاضر اثر معنی‌دار بر نفوذ پذیری نسبت به بخار آب نداشته است و تغییر

استفاده از ژلاتین و کربوکسی متیل سلوزل به میزان مساوی در مطالعه حاضر از یک سو و استفاده از نانوکریستال سلوزل از سوی دیگر سبب شده است تا میزان نفوذ پذیری نسبت به بخار آب فیلم‌های تولید

است (Tong et al., 2008). این محققین دلیل زیاد بودن نفوذپذیری نسبت به بخار آب را بزرگ بودن گروههای آنیونی جانی کربوکسی متیل سلولز می‌دانند که سبب افزایش فضای خالی در ماتریکس پلیمر خواهد شد.

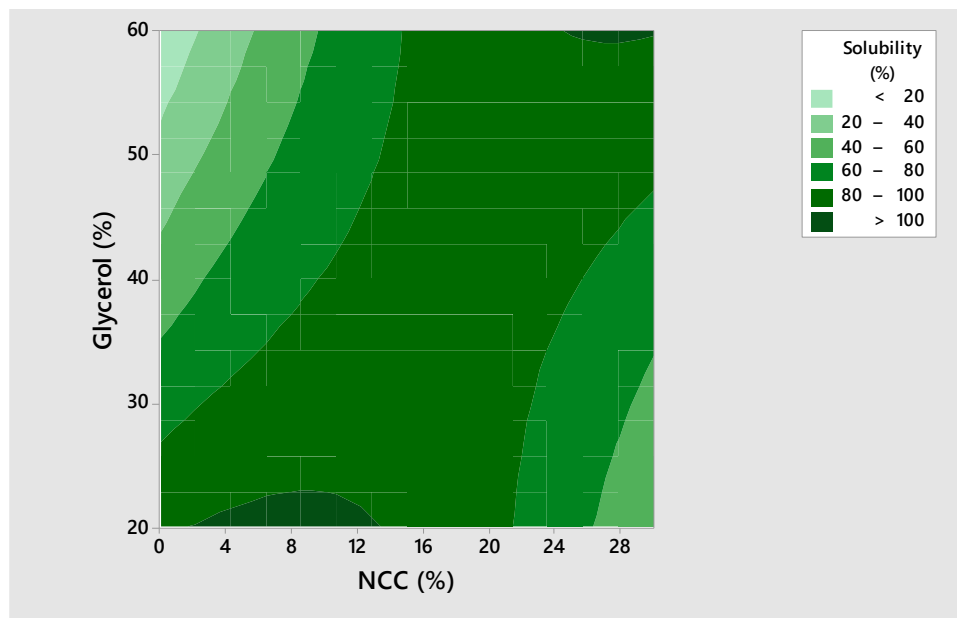
### حالیت در آب

کامپوزیت‌های تولید شده به عنوان لایه محافظ مواد غذایی استفاده می‌شوند از این رو میزان حلایت در آب کامپوزیت‌های تولید شده یکی از ویژگی‌های مهم این نوع از فیلم‌ها می‌باشد تا بتواند نقش محافظتی خود را به خوبی ایفا نماید. فیلم‌های تولید شده در اغلب مواد از حلایت بالایی در آب برخوردار بودند (شکل ۱). اگرچه زیاد بودن حلایت در زیست تخریب‌پذیری فیلم‌های تولید شده عامل مطلوبی محسوب می‌شود ولی کاربرد فیلم‌های تولید شده به عنوان ماده بسته‌بندی را محدود می‌سازد. آنالیز آماری حاکی از آن است که نانوسلولز، توان دوم ضریب همبستگی ( $R^2=97.03$ ) در خصوص ارتباط حلایت در آب و عوامل مورد استفاده به دست آمده است:

$$\text{Solubility} = 149.2 - 0.648\text{NCC} - 2.698\text{Glycerol} - 0.1253\text{NCC} * \text{NCC} + 0.1268\text{NCC} * \text{Glycerol} \quad (۹)$$

در میزان گلیسروول در تیمارهای مختلف سبب تغییر جزئی در مورد این ویژگی شده است. به طور معمول افزودن گلیسروول موجب افزایش نفوذپذیری نسبت به بخار آب می‌شود (Tong et al., 2008) افزودن کربوکسی متیل سلولز و درگیر شدن دو پلیمر در ماتریکس می‌تواند موجب از دسترس خارج شدن گروههای آبدوست بیوپلیمر شده و میزان نفوذپذیری نسبت به آب فیلم خالص ژلاتین کاهش یابد. افزودن نانوسلولز با ایجاد مسیر پر پیچ و خم بر سر راه ملکول‌های آب موجب می‌شود تا نفوذپذیری نسبت به بخار آب کاهش یابد (Kristo & Biliaderis, 2007).

در غلظت‌های بالای استفاده شده نانوکریستال سلولز موجب افزایش نفوذپذیری نسبت به بخار آب کامپوزیت‌های تولید شده می‌شود این موضوع در غلظت‌های بالای نانوسلولز یعنی بیش از  $15$  درصد کاملاً مشهود است به نحوی که مقدار نفوذپذیری نسبت به بخار آب در غلظت  $40$  درصد گلیسروول و  $15$  درصد نانوسلولز  $gm/m^2Pas \times 10^{-11}$  به دست آمد حتی این مقدار بیشتر از عدد به دست آمده برای کامپوزیت تولید شده بدون افزودن نانوسلولز است. البته این مقدار هنوز بسیار کمتر از مقدار گزارش شده برای فیلم خالص کربوکسی متیل سلولز (Dashipour et al. 2015) و برای فیلم خالص ژلاتین می‌باشد نفوذپذیری نسبت به بخار آب فیلم خالص کربوکسی متیل سلولز  $gm/m^2Pas \times 10^{-10}$  به دست آورده شده



شکل ۱- نمودار کنتور حلایت در آب نانوکامپوزیت‌ها حاوی سطوح مختلف گلیسروول و نانوکریستال سلولز  
Fig 1. Contour plot of solubility in water of nanocomposites contain different glycerol and NCC levels

گلیسروول زیاد و نانوکریستال سلولز زیاد در فرمولاسیون خود بودند، اگرچه به طور کامل در آب حل نشدنده ولی حلایت زیادی در آب داشتند.

تیمار حاوی  $20$  درصد گلیسروول و  $15$  درصد نانوکریستال سلولز به طور کامل در آب حل شده بود به همین شکل نمونه‌هایی که حاوی

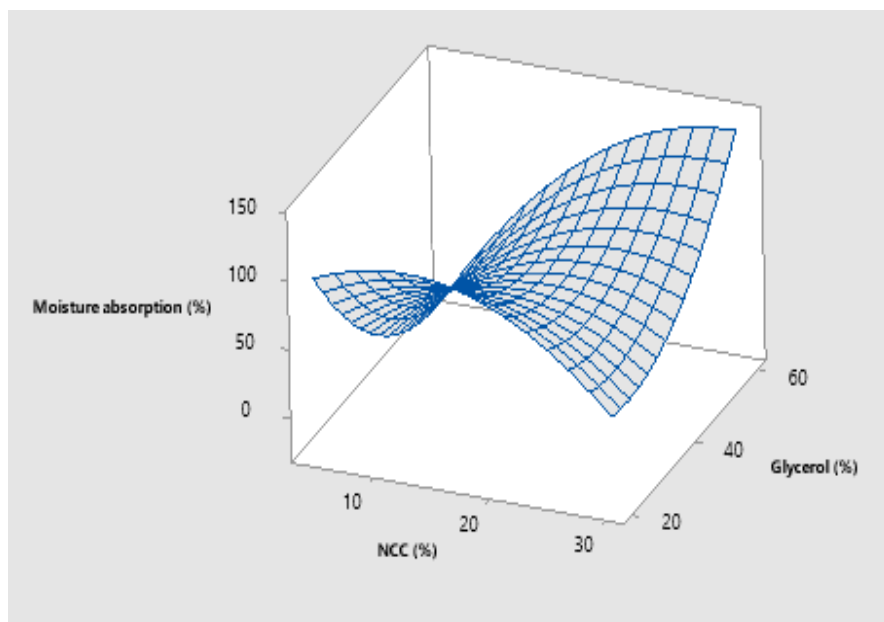
مشخص شده است افزودن نانوکیتین به ژلاتین باعث تغییر در میزان حلالیت فیلم‌های تولید شده نگردید (Sahraee et al., 2017a). افزایش حلالیت فیلم‌های متیل سلوزل با افزودن پلاستی سایزر توسط دیگر محققین نیز گزارش شده است زمانی که از پلاستی سایزر استفاده نمی‌شود در این صورت پیوندهای هیدروژنی قوی بین زنجیره‌های متیل سلوزل ایجاد می‌شود و سرعت حلالیت پایین است ولی با افزودن پلاستی سایزر و جاگیری آن بین رشته‌های متیل سلوزل پیوندهای بین زنجیره‌ای متیل سلوزل گسسته شده و پیوندهای هیدروژنی بین پلاستی سایزر و متیل سلوزل تشکیل می‌شوند که سبب به هم خوردن شبکه سه‌بعدی متیل سلوزل و باعث افزایش حلالیت در آب فیلم نرم شده می‌گردد (Turhan and Şahbaz 2004).

### جذب رطوبت

ژلاتین به عنوان ترکیب آبدوست و با قدرت جذب آب بالا شناخته می‌شود. نتایج حاصل از آزمون جذب رطوبت حاکی از آن است نانوکامپوزیت‌های تولید شده از قدرت جذب رطوبت بالایی برخوردار هستند (شکل ۲).

ماهیت آبدوستی ژلاتین و کربوکسی متیل سلوزل که در تولید کامپوزیت‌ها به کار برده شده‌اند می‌تواند دلیل زیاد بودن حلالیت فیلم‌های تولید شده باشد. حلالیت فیلم خالص ژلاتین ۶۶ درصد گزارش شده است که با افزودن نانوکلی از حلالیت فیلم‌ها کاسته می‌شود (Farahnaky et al., 2014). در صورتی که در مطالعه حاضر افزودن نانوسلوزل باعث کاهش حلالیت نگردیده است این امر می‌تواند به دلیل آبدوست بودن خود نانوماده به کار برده شده در تحقیق حاضر باشد. در صورتی که تیمار تهیه شده بدون حضور نانوسلوزل نسبت به بقیه تیمارها از حلالیت کمتری برخوردار بود مقدار به دست آمده در خصوص حلالیت در آب این نمونه برابر ۴۸/۶۲ درصد می‌بود که در واقع کمترین حلالیت به دست آمده در بین نمونه‌های تولید شده می‌باشد.

هماهنگی و ارتباط بین بیوپلیمرها می‌تواند با ایجاد برهmekنش‌های قوی و از دسترس خارج نمودن گروههای آبدوست موجب کاهش حلالیت کامپوزیت‌های تولید شده گردیده باشد این وضعیت با افزودن نانوسلوزل به هم خورده و احتمالاً ارتباط بین بیوپلیمرها گسسته شده است در این صورت با توجه به ماهیت آبدوست ماتریکس و فیلر حلالیت در آب نانوکامپوزیت‌ها افزایش یافته است. در تحقیق دیگری نیز



شکل ۲- نمودار سطح-پاسخ جذب رطوبت نانوکامپوزیت‌ها حاوی سطوح مختلف گلیسرول و نانوکریستال سلوزل

Fig 2. Response-surface plot of moisture absorption of nanocomposites contain different glycerol and NCC levels

حضور نانوکریستال سلوزل به عنوان پرکن در این زمینه بی‌تأثیر نیست. در مقادیر پایین نانوکریستال سلوزل وارد فضاهای خالی ایجاد شده در ماتریکس فیلم می‌شود و از حرکت آزادانه ملکول‌های آب ممانعت به عمل می‌آورد ولی با افزایش سطوح نانوکریستال سلوزل استفاده شده به دلیل تجمع پرکن نمی‌تواند نقش خود را ایفا نماید. بیشترین مقدار جذب

وارد شدن نرم‌کننده بین زنجیره‌های پلیمر باعث گسسته شدن پیوندها شد و پیوندهای هیدروژنی جدیدی می‌تواند بین نرم‌کننده و ماتریکس تشکیل گردد (Turhan et al., 2001). تشکیل این پیوندها سبب از دسترس خارج شدن گروههای هیدروکسیل خواهد شد در نتیجه با افزایش میزان گلیسرول از مقادیر جذب رطوبت کاسته می‌شود البته

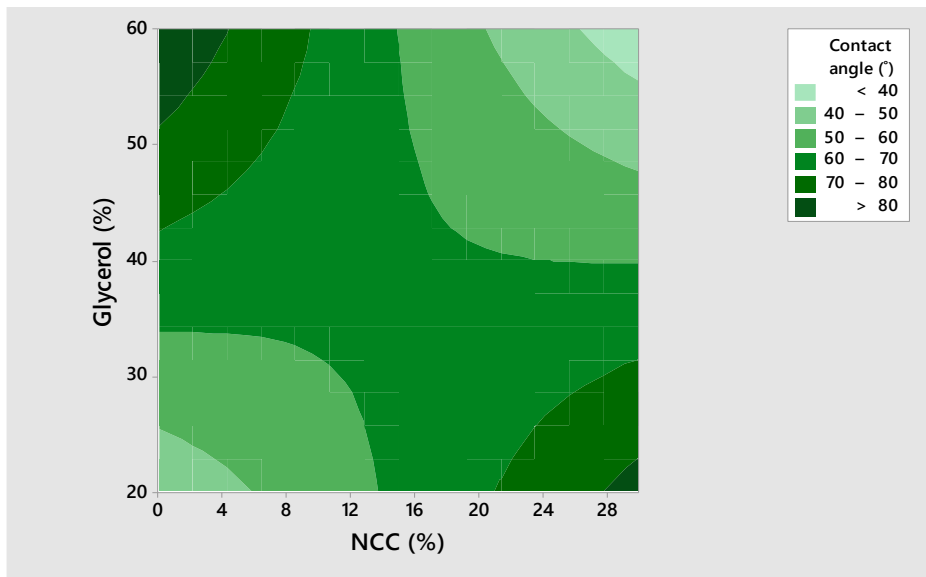
بیوپلیمری به رطوبت به حساب آید. در حال حاضر استفاده از تکنیک‌های پردازش تصویر در صنایع غذایی در حال گسترش می‌باشد که ضمن سریع و کم هزینه بودن جزء روش‌های غیرمخرب نیز محسوب می‌شوند (Du and Sun 2004). همانطور که در شکل ۳ مشاهده می‌شود در اغلب تیمارها زاویه تماس قطره آب با سطح در حدود ۶۰ درجه می‌باشد از آنجایی که اثر متقابل بین نانوکریستال سلولز و گلیسروول بر زاویه تماس قطره آب با سطوح فیلم‌ها اثر معنی‌دار دارد (p<0.05). می‌توان اظهار داشت در سطوح ثابت نانوکریستال سلولز با افزایش مقدار گلیسروول زاویه تماس کاهش یافته است چرا که گلیسروول به عنوان یک ترکیب چندالکلی از خاصیت آبدوستی زیادی برخوردار است. معادله زیر با ضریب همبستگی ( $R^2=78.24$ ) در خصوص ارتباط زاویه تماس و عوامل مورد استفاده به دست آمده است:

$$\text{Contact angle} = 17.7 - 0.0790 \text{ NCC} * \text{Glycerol} \quad (10)$$

رطوبت در کامپوزیتی با ۵۴ درصد گلیسروول و ۲۶ درصد نانوکریستال سلولز برابر با ۱۷۴/۶۶ درصد به دست آمده است بعد از آن بیشترین مقدار جذب رطوبت متعلق به تیماری با ۲۰ درصد گلیسروول و ۱۵ درصد نانوسلولز برابر با ۱۵۲/۲۱ درصد است. تشکیل پیوندهای هیدروژنی و به تبع آن کاهش جذب رطوبت با افزودن کربوکسی متیل سلولز به فیلم‌های نشاسته نیز گزارش شده است (Ghanbarzadeh et al., 2010).

### زاویه تماس

در مورد فیلم‌های بیوپلیمری که از آبدوستی بالاتری برخوردارند تعیین میزان آبدوستی و قابلیت مرتبط شوندگی سطحی فیلم‌ها با آزمون زاویه تماس که یکی از آزمون‌های رایج در این زمینه می‌باشد می‌تواند یک روش خوب برای تعیین میزان حساسیت فیلم‌های



شکل ۳- نمودار کنتور زاویه تماس نانوکامپوزیت‌ها حاوی سطوح مختلف گلیسروول و نانوکریستال سلولز

Fig 3. Contour plot of water drop contact angle of nanocomposites contain different glycerol and NCC levels

افزایش یافته است گرچه تفاوت معنی‌دار بین سطوح مختلف نانوکیتین استفاده شده مشاهده نگردید محققین دلیل این افزایش را به سبب توانایی نانوکیتین در ایجاد پیوندهای هیدروژنی و آمیدی بین کیتین و ژلاتین می‌دانند (Sahraee et al., 2017b).

کاهش زاویه تماس با افزودن مونت موریلونیت به فیلم کربوکسی متیل سلولز مشاهده است مقدار زاویه تماس برای فیلم خالص کربوکسی متیل سلولز ۴۵/۳۷ درجه بدست آورده شده است که با افزودن ۱۰٪ مونت موریلونیت به ۳۶/۵۳ درجه کاهش می‌یابد (Quilaqueo Gutierrez et al. 2012).

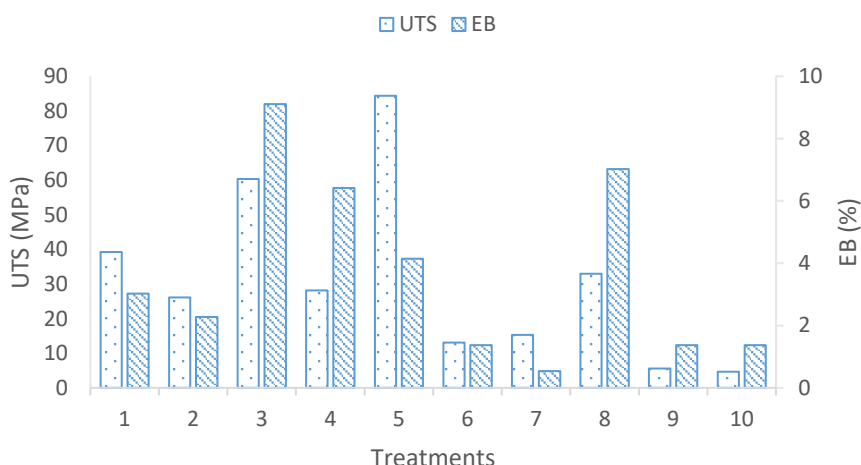
همچنین برهمنکش‌های بین گروه‌های قطبی و هیدروکسیلی ترکیبات مورد استفاده در ساخت کامپوزیت‌ها سبب شده است تا شاهد رفتارهای متفاوتی در بین تیمارهای مختلف باشیم به عنوان مثال در سطوح متوسط گلیسروول عدم استفاده از نانوکریستال سلولز سبب افزایش زاویه تماس شده است و مقدار زاویه تماس برای تیماری حاوی ۴۰ درصد گلیسروول و بدون حضور نانوکریستال سلولز ۶۸/۶۹ درجه به دست آمده است. در صورتی که در سطوح دیگر گلیسروول حضور نانوکریستال سلولز باعث بهبود مقادیر زاویه تماس آب با سطح شده است. زاویه تماس قطره آب با سطح فیلم خالص ژلاتین ۸۰ درجه گزارش شده است با افزودن نانوکیتین به ژلاتین مقدار زاویه تماس

می‌شود در تیمارهایی که از سطوح کمتر گلیسروول استفاده شده است از دیدار طول در نقطه شکست به زیر ۵ درصد تقلیل می‌یابد (**شکل ۴**). آنالیز آماری نیز نشانگر این است گلیسروول بر مقدار از دیدار طول در نقطه شکست تاثیر معنی‌دار دارد ( $p < 0.01$ ). افزودن نانورس تا میزان ۵ درصد به فیلم‌های خالص ژلاتین سبب افزایش از دیدار طول در نقطه شکست می‌شود در صورتی که بیش از این مقدار افزودن نانوکلی سبب کاهش از دیدار طول در نقطه شکست خواهد شد (**Lim et al., 2010**). استحکام کششی برای فیلم‌های تهیه شده از کربوکسی متیل سلوزل خالص ۱۷/۷۵ مگاپاسکال و از دیدار طول در نقطه شکست ۲۶/۸۶ درصد گزارش شده است (**Dashipour et al. 2015**). کاهش از دیدار طول در نقطه شکست در تحقیق حاضر می‌تواند به دلیل استفاده از ژلاتین در تهیه کامپوزیت‌ها باشد که از طرف دیگر به کار بردن ژلاتین سبب شده است تا استحکام کششی فیلم‌های تولید شده چند برابر افزایش یابد. در خصوص استحکام کششی فیلم‌های حاصل از قدرت بالای برخوردار هستند به‌طوری که حداقل استحکام کششی ۸۴/۳۷ مگاپاسکال به دست آمد این مقدار در مورد تیماری است که از ۴۰ درصد گلیسروول بدون افزودن نانوسلولز تهیه شده بود افزودن نانوسلولز به مقدار ۴ درصد باعث کاهش جزئی در استحکام کششی می‌شود البته از نظر آماری تفاوت معنی‌داری بین این دو تیمار وجود ندارد ولی در مقادیر بالاتر نانوسلولز استحکام کششی نیز کاهش می‌یابد.

زاویه تماس را افزایش خاصیت آبدوستی فیلم‌ها با افزودن مونت موریلونیت می‌دانند. دلیل پایین بودن زاویه تماس در تحقیق حاضر می‌تواند به خاطر استفاده از کربوکسی متیل سلوزل باشد که فیلم‌های تهیه شده از آن زاویه تماس کمی دارند. همینطور استفاده از نانوکریستال سلوزل به عنوان یک فیلر آبدوست می‌تواند مزید علت در کاهش زاویه تماس قطvre آب با سطوح فیلم باشد. سولفاناسیون سلوزل حین تهیه نانوسلولز در روش (**Morais et al. 2013**) در صورت استفاده از فیلرهای هیدروفوب مانند نانوذرات هیدرولیز اسیدی به خاصیت آبدوستی نانوسلولز اضافه می‌کند (**Rhim et al., 2013**). افزایش زاویه تماس کامپوزیت حاصل خاصیت هیدروفوب نقره زاویه تماس افزایش و سطح کامپوزیت حاصل خاصیت هیدروفوب پیدا خواهد کرد (**Rhim et al., 2013**). افزایش زاویه تماس در تحقیق حاضر نسبت به فیلم خالص کربوکسی متیل سلوزل نیز می‌تواند به دلیل استفاده از ژلاتین در تهیه نانوکامپوزیت باشد البته با افزایش نانوسلولز زاویه تماس کاهش یافته است.

#### خواص مکانیکی

فیلم‌های بر پایه ژلاتین به‌طور معمول شکننده هستند و خواص مکانیکی ضعیفی از خود نشان می‌دهند. در حالت کلی میزان از دیدار طول در نقطه شکست فیلم‌های تولید شده کمتر از ۱۰ درصد می‌باشد و این میزان تنها در فیلم‌های با بیش از ۵۰ درصد گلیسروول مشاهده



شکل ۴- استحکام کششی نهایی و کشش در نقطه شکست نانوکامپوزیت‌های ژلاتین- کربوکسی متیل سلوزل

Fig. 4. UTS and EB of gelatin- carboxy methyl cellulose nanocomposites

افزودن نانوکیتین یا نانوذرات اکسید روی کاهش در مقادیر استحکام کششی و افزایش در از دیدار طول در نقطه شکست به جز برای تیمار حاوی ۳ درصد نانوکیتین مشاهده گردید (**Sahraee et al., 2017b**). بر اساس گفته این محققین وارد شدن نانوذرات به ماتریکس پلیمر

آنالیز آماری نشانگر این است نانوسلولز و توان دوم نانوسلولز در سطح بر استحکام کششی فیلم‌های تولید شده تاثیر معنی‌دار دارد. استحکام کششی برای فیلم‌های خالص ژلاتین ۶۵/۲۰ مگاپاسکال و از دیدار طول در نقطه شکست ۴/۶۴ درصد به دست آمده است که با

(Fakhri et al., 2012). پس از به دست آوردن مقادیر  $a^*$ ,  $L^*$  و  $b^*$  برای نمونه‌های نانوکامپوزیت و زمینه استاندارد سفید ویژگی‌های اختلاف رنگ، اندیس زردی و اندیس سفیدی برای تمام نمونه‌ها محاسبه شد (جدول ۱). اختلاف رنگ کل نمونه‌های تولید شده بین ۰/۴۶ تا ۰/۲۱ می‌باشد. فیلم‌های تولید شده از ژلاتین خالص اختلاف رنگ برابر ۱/۸۲ از خود نشان دادند که با افزودن نانوکسید روی از شفافیت آنها کاسته می‌شود (Shankar et al. 2015). فیلم‌های خالص کربوکسی متیل سلوولز نیز اختلاف رنگ کل پایینی از خود نشان می‌دهند (۵/۱۸) (Quilaqueo Gutierrez et al. 2012). نظر به اینکه هم فیلم‌های خالص آگار هم فیلم‌های خالص کربوکسی متیل سلوولز اختلاف رنگ کل پایینی دارند لذا ترکیب این دو پلیمر در تحقیق حاضر منجر به تولید فیلم‌های با اختلاف رنگ کل پایین شده است. کمترین میزان اختلاف رنگ در کامپوزیت بدون اضافه کردن نانوکریستال سلوولز مشاهده می‌شود (۲/۱۵). انتظار می‌رود با افزایش نانوذرات از شفافیت فیلم کاسته شود. افزایش اختلاف رنگ با افزودن نانوکریستال سلوولز به فیلم خالص آگار توسط Reddy و همکاران (۲۰۱۷) نیز گزارش شده است (Reddy et al., 2017). فیلم‌های ژلاتین خالص که اختلاف رنگ ۵/۱۵ داشتند با اضافه شدن نانو ذرات اختلاف رنگ آنها به مقدار زیادی افزایش یافت و به ۱۰/۲۳ رسید (Ejaz et al. 2018). در صورتی که در تحقیق حاضر اختلاف معنی داری بین نمونه‌های مختلف تهیه شده مشاهده نگردید و آنالیز آماری نشان می‌دهد هیچ یک از متغیرهای به کار برده شده در تهیه کامپوزیتها بر این ویژگی اثر معنی‌دار نداشته است. عوامل به کار برده شده براندیس زردی تاثیر معنی‌دار نداشتند (جدول ۱) و در تسامی‌تیمارها اندیس زردی محاسبه شده کمتر از ۰/۰۹ می‌باشد. از طرف دیگر اندیس سفیدی محاسبه شده برای تمام تیمارها بیش از ۸۲ می‌باشد که نشان از شفافیت فیلم‌های تولید شده دارد. آنالیز آماری نشان می‌دهد هیچ یک از متغیرهای به کار برده شده در تهیه کامپوزیتها بر اندیس سفیدی اندازه‌گیری شده فیلم‌های تولید شده اثر معنی‌دار نداشته است (جدول ۱).

### بهینه‌سازی فرایند

همانطور که در شکل ۵ نشان داده شده است فرایند بهینه‌سازی برای ویژگی‌های اندازه‌گیری شده توسط نرم‌افزار Minitab18 صورت پذیرفت. هدف بهینه‌سازی تعیین مقادیر مطلوب متغیرهای مستقل آزمایش بود به نحوی که حداقل مقدار ممکن برای هر یک کدام از متغیرهای وابسته یعنی نفوذپذیری نسبت به بخار آب، حلایق و جذب رطوبت و از طرف دیگر حداکثر مقدار ممکن برای ویژگی زاویه تماس آب به دست آید. بر اساس نتایج به دست آمده برای دستیابی به اهداف

ممکن است سبب کاهش ارتباطات بین ملکولی در ژلاتین شده و استحکام کششی را کاهش دهد لذا استحکام کششی با افزودن نانوسلوولز به فیلم‌های ژلاتین - کربوکسی متیل سلوولز می‌تواند به همین دلیل باشد چرا که ویژگی‌های مکانیکی تابع برهمکنش‌های داخل و بین ملکولی هستند (Chambi and Grosso, 2006).

استفاده از صفحه زانتان در تحقیقی که توسط Nur Hazirah و همکاران (۲۰۱۶) صورت گرفته است به دلیل تضعیف نیروی‌های بین ملکولی سبب کاهش استحکام کششی می‌شود علاوه بر این با افزودن Nur Hazirah et al., (2016) ولی به کار بردن نانوسلوولز سبب تقویت ویژگی‌های مکانیکی فیلم‌های ژلاتین - کربوکسی متیل سلوولز می‌شود. علاوه بر این فیلم‌های تهیه شده از ژلاتین که از دی‌آلدید کربوکسی متیل سلوولز به عنوان اتصال دهنده عرضی در ترکیب آنها استفاده شده بود استحکام کششی پایین‌تری از خود نشان دادند (Mu et al. ۴/۷۶ – ۱۵/۱۳ MPa) (Nur Hazirah et al. 2012). با مقایسه نتایج مطالعات انجام یافته توسط Nur Hazirah و همکاران (۲۰۱۶) و Mu و همکاران (۲۰۱۲) که از اتصال دهنده‌های عرضی جهت بهبود خواص فیلم ژلاتین استفاده کرده اند با مطالعه حاضر می‌توان اظهار داشت جهت اصلاح ویژگی‌های فیلم‌های کامپوزیت تولید شده از ژلاتین و کربوکسی متیل سلوولز استفاده از تکنیک اتصالات عرضی چندان مفید فایده نمی‌باشد و برای بهبود ویژگی‌های کامپوزیت ژلاتین - کربوکسی متیل سلوولز تولید شده نانوسلوولز به طور موثر تری عمل کرده است و استفاده از آن بدین منظور Nur Hazirah et al., 2016; نسبت به اتصال عرضی ارجحیت دارد (Mu et al. 2012).

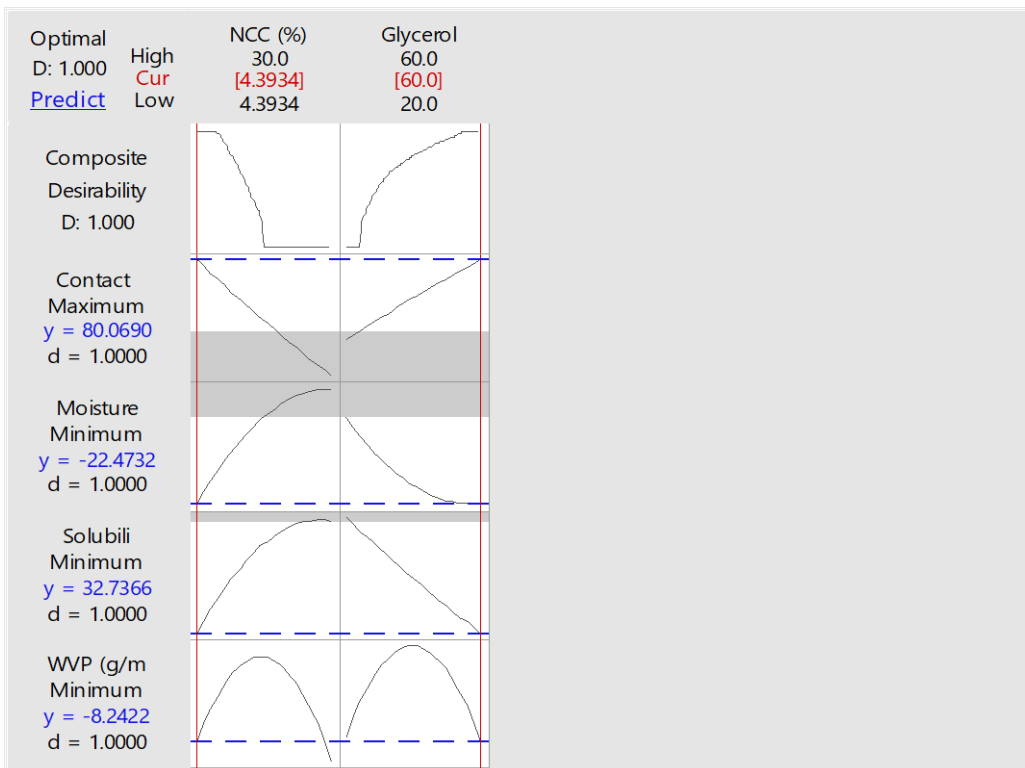
استفاده همزمان از دو بیوبلیم در تحقیق حاضر باعث بهبود استحکام کشش نهایی و ازدیاد طول در نقطه شکست کامپوزیت‌های تولید شده گردیده است استفاده از بیوبلیم‌های که از نظر ساختاری شبیه هم باشند باعث بهبود ویژگی‌های مکانیکی می‌شود (Averous et al., 2001). مقادیر به دست آمده برای استحکام کششی نانوکامپوزیت‌های ژلاتین - کربوکسی متیل سلوولز در تحقیق حاضر چندین برابر مقدار استحکام کششی پلی‌اتیلن با دانسیتی بالا (۲۲–۲۳ مگاپاسکال) است.

### رنگ

هرچه شفافیت فیلم‌های زیست پلیمری بیشتر و به پلاستیک‌های حاصل از پلیمرهای سنتری نزدیک‌تر باشد، پذیرش و استفاده از این نوع مواد بسته بندی افزایش می‌یابد.  $\Delta E$  در واقع درجه اختلاف رنگی نمونه‌ها با صفحه استاندارد را نشان می‌دهد هرچه  $\Delta E$  برای یک نمونه Abolghasemi کمتر باشد، نشان می‌دهد، آن فیلم شفاف‌تر است (Abolghasemi 2006).

$10^{-12} \times 22/47$ ، حلالیت ۳۲/۷۴ درصد، مقدار جذب رطوبت ۸۰/۰۷ درجه خواهد بود.

مورد نظر نانوکامپوزیت باستی حاوی ۶۰/۰ درصد گلیسرول و ۴/۴۰ درصد نانوکربیستال سلولز تولید شود در این صورت بر اساس پیش‌بینی نرم افزار مقدار نفوذپذیری نسبت به بخار آب  $\text{gm/m}^2\text{Pas}$



شکل ۵- نمودار بهینه‌سازی و راهکار به دست آمده در خصوصیات نفوذپذیری نسبت به بخار آب، جذب رطوبت و زاویه تماس

Fig. 5. The optimization process and the obtained solution due to the permeability to water vapor, solubility in water, moisture absorption and contact angle parameters.

رطوبت طبقه‌بندی می‌شوند که کاربرد آنها را برای مواد غذایی مرطوب مشکل می‌سازد. استفاده از کربوکسی متیل سلولز می‌تواند باعث بهبود خواص نفوذپذیری نسبت به بخار آب فیلم‌های ژلاتین خالص شود همین‌طور استفاده از ژلاتین سبب افزایش زاویه تماس قطره آب با سطح فیلم‌های کربوکسی متیل سلولز خالص می‌شود. بر اساس مدل سازی انجام یافته توسط نرم‌افزار افزودن ۶۰ درصد گلیسرول و ۴/۴ درصد نانوسلولز به کامپوزیت‌های ژلاتین کربوکسی متیل سلولز سبب تولید فیلم مطلوب می‌شود.

## نتیجه‌گیری

فیلم‌های تولید شده از ژلاتین و کربوکسی متیل سلولز استحکام کششی زیادی از خود نشان دادند گرچه میزان ازدیاد طول در نقطه شکست آنها مطلوب نمی‌باشد ولی از نظر خواص ممانعتی در مقابل نفوذپذیری بخار آب از میان فیلم نیز در مقایسه با دیگر فیلم‌های تولید شده بر پایه بیopolymerهای طبیعی مقادیر بهبود یافته‌ای از خود نشان دادند از طرف دیگر از نظر خواص آبدوستی جزء فیلم‌های حساس به

## منابع

- Abolghasemi Fakhri, L., Ghanbarzadeh, B., Dehghannia, J. Entezami, A.A. (2012). The effects of montmorillonite and cellulose nanocrystals on physical properties of carboxymethyl cellulose/polyvinyl alcohol blend films. *Iranian Journal of Polymer Science and Technology* (In Persian), 24 (6), 456-465.
- Almasi, H., Ghanbarzadeh, B., Pezeshki Najafabadi, A. 2010. Improving the physical properties of starch and starch – carboxymethyl cellulose composite biodegradable films. *Iranian Journal of Food Science and Technology*, (In Persian), 6 (3), 1-11.
- Almasi, H., Ghanbarzadeh, B., Dehghannya, J., Entezami, A., & Khosrowshahi Asl, A. (2015). Novel

- nanocomposites based on fatty acid modified cellulose nanofibers/poly(lactic acid): Morphological and physical properties. *Food Packaging and Shelf Life*, 5. <https://doi.org/10.1016/j.fpsl.2015.04.003>
4. Angles, M. N., & Dufresne, A. (2001). Plasticized starch/tunicin whiskers nanocomposite materials. 2. Mechanical behavior. *Macromolecules*, 34(9), 2921-2931.
  5. AOAC. (1995). Official Methods of Analysis, sixteenth ed. Association of Official Analytical Chemists, Arlington VA, USA.
  6. Asgar, M. A., Fazilah, A., Huda, N., Bhat, R., & Karim, A. (2010). Nonmeat Protein Alternatives as Meat Extenders and Meat Analogs. *Comprehensive Reviews in Food Science and Food Safety*, 9, 513–529. <https://doi.org/10.1111/j.1541-4337.2010.00124.x>
  7. ASTM. (1995a). Annual Book of ASTM Standards. Standard test methods for water vapor transmission of materials (Vol. Designation E 96-95). Philadelphia: American Society for Testing and Materials.
  8. ASTM. (1995b). Standard test methods for tensile properties of thin plastic sheeting. D882–10 annual book of ASTM. Philadelphia, PA: American Society for Testing and Materials.
  9. Avérous, L., Fringant, C., & Moro, L. (2001). Plasticized starch-cellulose interactions in polysaccharide composites. *Polymer*, 42, 6565–6572. [https://doi.org/10.1016/S0032-3861\(01\)00125-2](https://doi.org/10.1016/S0032-3861(01)00125-2)
  10. Ayrancı, E., & Tunc, S. (2001). The effect of fatty acid content on water vapour and carbon dioxide transmissions of cellulose-based films. *Food Chemistry*, 72, 231–236. [https://doi.org/10.1016/S0308-8146\(00\)00227-2](https://doi.org/10.1016/S0308-8146(00)00227-2)
  11. Ayrancı, E., & Tunc, S. (2003). A method for the measurement of the oxygen permeability and the development of edible films to reduce the rate of oxidative reactions in fresh foods. *Food Chemistry*, 80, 423–431. [https://doi.org/10.1016/S0308-8146\(02\)00485-5](https://doi.org/10.1016/S0308-8146(02)00485-5)
  12. Boun, H. R., & Huxsoll, C. C. (1991). Control of Minimally Processed Carrot (*Daucus carota*) SurBOUN, H. R., & HUXSOLL, C. C. (1991). Control of Minimally Processed Carrot (*Daucus carota*) Surface Discoloration Caused by Abrasion Peeling. *Journal of Food Science*, 56(2), 416–418. <https://doi.org/10.1111/j.1365-2621.1991.tb05293.x>
  13. Bower, C. K., Avena-Bustillos, R., Olsen, C. W., Mchugh, T., & Bechtel, P. (2006). Characterization of Fish-Skin Gelatin Gels and Films Containing the Antimicrobial Enzyme Lysozyme. *Journal of Food Science*, 71. <https://doi.org/10.1111/j.1750-3841.2006.00031.x>
  14. Chambi Mamani, H. N., & Grossi, C. (2006). Edible films produced with gelatin and casein cross-linked with transglutaminase. *Food Research International*, 39, 458–466. <https://doi.org/10.1016/j.foodres.2005.09.009>
  15. Cheng, L.-H., Karim, A., & Seow, C. C. (2008). Characterisation of composite films made of konjac glucomannan (KGM), carboxymethyl cellulose (CMC) and lipid. *Food Chemistry*, 107, 411–418. <https://doi.org/10.1016/j.foodchem.2007.08.068>
  16. Cherian, B., Leao, A., Souza, S., Costa, L. M., Molina de Olyveira, G., Samy, K., Nagarajan, E. R., & Thomas, S. (2011). Cellulose nanocomposites with nanofibres isolated from pineapple leaf fibers for medical applications. *Carbohydrate Polymers*, 86, 1790–1798. <https://doi.org/10.1016/j.carbpol.2011.07.009>
  17. Choi, Y., & Simonsen, J. (2006). Cellulose Nanocrystal-Filled Carboxymethyl Cellulose Nanocomposites. *Journal of Nanoscience and Nanotechnology*, 6(3), 633–639. <https://doi.org/10.1166/jnn.2006.132>
  18. Cole, M., & Bergeson, L. (2007). Regulation of new forms of food packaging produced using nanotechnology. In Intelligent and Active Packaging for Fruits and Vegetables (pp. 289–306). <https://doi.org/10.1201/9781420008678.ch15>
  19. Dashipour, A., Razavilar, V., Hosseini, H., Shojaee-Aliabadi, S., German, J. B., Ghanati, K., Khakpour, M., & Khaksar, R. (2015). Antioxidant and antimicrobial carboxymethyl cellulose films containing *Zataria multiflora* essential oil. *International Journal of Biological Macromolecules*, 72, 606–613. <https://doi.org/10.1016/J.IJBIOMAC.2014.09.006>
  20. de Carvalho, R. A., & Grossi, C. R. F. (2004). Characterization of gelatin based films modified with transglutaminase, glyoxal and formaldehyde. *Food Hydrocolloids*, 18(5), 717–726. <https://doi.org/https://doi.org/10.1016/j.foodhyd.2003.10.005>
  21. Du, C. J., & Sun, D. W. (2004). Recent developments in the applications of image processing techniques for food quality evaluation. *Trends in Food Science & Technology*, 15(5), 230–249. <https://doi.org/10.1016/J.TIFS.2003.10.006>
  22. Ejaz, M., Arfat, Y. A., Mulla, M., & Ahmed, J. (2018). Zinc oxide nanorods/clove essential oil incorporated Type B gelatin composite films and its applicability for shrimp packaging. *Food Packaging and Shelf Life*, 15, 113–121. <https://doi.org/10.1016/J.FPSL.2017.12.004>
  23. Espitia, P. J. P., Du, W. X., de Jesús Avena-Bustillos, R., Soares, N. D. F. F., & McHugh, T. H. (2014). Edible films from pectin: Physical-mechanical and antimicrobial properties-A review. *Food hydrocolloids*, 35, 287-296. <https://doi.org/10.1016/j.foodhyd.2013.06.005>
  24. Farahnaky, A., Dadfar, S. M. M., & Shahbazi, M. (2014). Physical and mechanical properties of gelatin-clay

- nanocomposite. *Journal of Food Engineering*, 122, 78–83. <https://doi.org/10.1016/J.JFOODENG.2013.06.016>
25. Farris, S., Schaich, K., Liu, L., Cooke, P., Piergiovanni, L., & Yam, K. (2011). Gelatin-pectin composite films from polyion-complex hydrogels. *Food Hydrocolloids*, 25. <https://doi.org/10.1016/j.foodhyd.2010.05.006>
  26. Gennadios, A., Weller, C. L., Hanna, M. A., & Froning, G. W. (1996). Mechanical and barrier properties of egg albumen films. *Journal of Food Science*, 61(3), 585–589. <https://doi.org/10.1111/j.1365-2621.1996.tb13164.x>
  27. Ghanbarzadeh, B., Almasi, H., & Entezami, A. A. (2010). Physical properties of edible modified starch/carboxymethyl cellulose films. *Innovative Food Science & Emerging Technologies*, 11(4), 697–702. <https://doi.org/10.1016/J.IFSET.2010.06.001>
  28. Gomez-Guillem, M., Ihl, M., Bifani, V., Silva Weiss, A. C., & Montero, P. (2007). Edible films made from tuna-fish gelatin with antioxidant extracts of two different murta ecotypes leaves (*Ugni molinae Turcz*). *Food Hydrocolloids*, 21, 1133–1143. <https://doi.org/10.1016/j.foodhyd.2006.08.006>
  29. Guerrero, P., Stefani, P. M., Ruseckaite, R. A., & de la Caba, K. (2011). Functional properties of films based on soy protein isolate and gelatin processed by compression molding. *Journal of Food Engineering*, 105(1), 65–72. <https://doi.org/10.1016/J.JFOODENG.2011.02.003>
  30. Guilbert, S. (1986). Technology and application of edible protective films. *Technology and Application of Edible Protective Films*, 371–393.
  31. Habibi, Y., & Dufresne, A. (2008). Highly Filled Bionanocomposites from Functionalised Polysaccharide Nanocrystals. *Biomacromolecules*, 9, 1974–1980. <https://doi.org/10.1021/bm8001717>
  32. Jordan, J., Jacob, K. I., Tannenbaum, R., Sharaf, M. A., & Jasiuk, I. (2005). Experimental trends in polymer nanocomposites—a review. *Materials Science and Engineering: A*, 393(1–2), 1–11. <https://doi.org/10.1016/J.MSEA.2004.09.044>
  33. Kaushik, A., Singh, M., & Verma, G. (2010). Green nanocomposites based on thermoplastic starch and steam exploded cellulose nanofibrils from wheat straw. *Carbohydrate Polymers*, 82, 337–345. <https://doi.org/10.1016/j.carbpol.2010.04.063>
  34. Kawasumi, M. (2004). The discovery of polymer-clay hybrids. *Journal of Polymer Science Part A: Polymer Chemistry*, 42, 819–824. <https://doi.org/10.1002/pola.10961>
  35. Klemm, D., Heublein, B., Fink, H.-P., & Bohn, A. (2005). Cellulose: Fascinating Biopolymer and Sustainable Raw Material. *Angewandte Chemie International Edition*, 44(22), 3358–3393. <https://doi.org/10.1002/anie.200460587>
  36. Kristo, E., & Biliaderis, C. (2007). Physical properties of starch nanocrystal reinforced pullulan film. *Carbohydrate Polymers*, 68, 146–158. <https://doi.org/10.1016/j.carbpol.2006.07.021>
  37. León, K., Mery, D., Pedreschi, F., & León, J. (2006). Color measurement in L\*a\*b\* units from RGB digital images. *Food Research International*, 39(10), 1084–1091. <https://doi.org/10.1016/J.FOODRES.2006.03.006>
  38. Lim, G.-O., Jang, S.-A., & Song, K. (2010). Physical and antimicrobial properties of *Gelidium corneum*/nano-clay composite film containing grapefruit seed extract or thymol. *Journal of Food Engineering*, 98, 415–420. <https://doi.org/10.1016/j.jfoodeng.2010.01.021>
  39. Morais, J. P. S., Rosa, M. de F., de Souza Filho, M. de sá M., Nascimento, L. D., do Nascimento, D. M., & Cassales, A. R. (2013). Extraction and characterization of nanocellulose structures from raw cotton linter. *Carbohydrate Polymers*, 91(1), 229–235. <https://doi.org/10.1016/J.CARBPOL.2012.08.010>
  40. Mu, C., Guo, J., Li, X., Lin, W., & Li, D. (2012). Preparation and properties of dialdehyde carboxymethyl cellulose crosslinked gelatin edible films. *Food Hydrocolloids*, 27(1), 22–29. <https://doi.org/10.1016/j.foodhyd.2011.09.005>
  41. Nur Hazirah, M. A. S. P., Isa, M. I. N., & Sarbon, N. M. (2016). Effect of xanthan gum on the physical and mechanical properties of gelatin-carboxymethyl cellulose film blends. *Food Packaging and Shelf Life*, 9, 55–63. <https://doi.org/10.1016/J.FPSL.2016.05.008>
  42. Park, H. J., Weller, C. L., Vergano, P. J., & Testin, R. F. (1993). Permeability and Mechanical Properties of Cellulose-Based Edible Films. *Journal of Food Science*, 58(6), 1361–1364. <https://doi.org/10.1111/j.1365-2621.1993.tb06183.x>
  43. Patil, B., Bharath Kumar, B. R., Bontha, S., Balla, V. K., Powar, S., Hemanth Kumar, V., Suresha, S. N., & Doddamani, M. (2019). Eco-friendly lightweight filament synthesis and mechanical characterization of additively manufactured closed cell foams. *Composites Science and Technology*, 183, 107816. <https://doi.org/https://doi.org/10.1016/j.compscitech.2019.107816>
  44. Quilaqueo Gutierrez, M., Echeverría, I., Ihl, M., Bifani, V., & Mauri, A. N. (2012). Carboxymethylcellulose-montmorillonite nanocomposite films activated with murta (*Ugni molinae Turcz*) leaves extract. *Carbohydrate Polymers*. <https://doi.org/10.1016/j.carbpol.2011.09.040>
  45. Reddy, J. P., & Rhim, J. W. (2014). Characterization of bionanocomposite films prepared with agar and paper-mulberry pulp nanocellulose. *Carbohydrate Polymers*, 110, 480–488. <https://doi.org/10.1016/J.CARBPOL.2014.04.056>
  46. Rhim, J. W., Wang, L. F., & Hong, S. I. (2013). Preparation and characterization of agar/silver nanoparticles

- composite films with antimicrobial activity. *Food Hydrocolloids*, 33(2), 327–335. <https://doi.org/10.1016/J.FOODHYD.2013.04.002>
47. Romero-Bastida, C. A., Bello-Pérez, L. A., García, M. A., Martino, M. N., Solorza-Feria, J., & Zaritzky, N. E. (2005). Physicochemical and microstructural characterization of films prepared by thermal and cold gelatinization from non-conventional sources of starches. *Carbohydrate Polymers*, 60(2), 235–244. <https://doi.org/10.1016/J.CARBPOL.2005.01.004>
48. Rouhi, J., Mahmud, S., Naderi, N., Ooi, C. H. R., & Mahmood, M. R. (2013). Physical properties of fish gelatin-based bio-nanocomposite films incorporated with ZnO nanorods. *Nanoscale Research Letters*, 8(1), 364. <https://doi.org/10.1186/1556-276X-8-364>
49. Sahraee, S., Milani, J. M., Ghanbarzadeh, B., & Hamishehkar, H. (2017a). Effect of corn oil on physical, thermal, and antifungal properties of gelatin-based nanocomposite films containing nano chitin. *LWT- Food Science and Technology*, 76, 33–39. <https://doi.org/10.1016/J.LWT.2016.10.028>
50. Sahraee, S., Milani, J. M., Ghanbarzadeh, B., & Hamishehkar, H. (2017b). Physicochemical and antifungal properties of bio-nanocomposite film based on gelatin-chitin nanoparticles. *International Journal of Biological Macromolecules*, 97, 373–381. <https://doi.org/10.1016/J.IJBIOMAC.2016.12.066>
51. Segal, L., Creely, J. J., Martin, A. E., & Conrad, C. M. (1959). An Empirical Method for Estimating the Degree of Crystallinity of Native Cellulose Using the X-Ray Diffractometer. *Textile Research Journal*, 29(10), 786–794. <https://doi.org/10.1177/004051755902901003>
52. Sekhon, B. (2010). Food nanotechnology—An overview. *Nanotechnology, Science and Applications*, 3, 1–15. <https://doi.org/10.2147/NSA.S8677>
53. Shankar, S., Teng, X., Li, G., & Rhim, J.-W. (2015). Preparation, characterization, and antimicrobial activity of gelatin/ZnO nanocomposite films. *Food Hydrocolloids*, 45, 264–271. <https://doi.org/10.1016/J.FOODHYD.2014.12.001>
54. Silva, M., Bierhalz, A., & Kieckbusch, T. (2009). Alginate and pectin composite films crosslinked with  $\text{Ca}^{2+}$  ions: Effect of the plasticizer concentration. *Carbohydrate Polymers*, 77, 736–742. <https://doi.org/10.1016/j.carbpol.2009.02.014>
55. Thygesen, A., Oddershede, J., Lilholt, H., Thomsen, A. B., & Ståhl, K. (2005). On the determination of crystallinity and cellulose content in plant fibres. *Cellulose*, 12(6), 563–576. <https://doi.org/10.1007/s10570-005-9001-8>
56. Tong, Q., Xiao, Q., & Lim, L.-T. (2008). Preparation and properties of pullulan–alginate–carboxymethylcellulose blend films. *Food Research International*, 41(10), 1007–1014. <https://doi.org/10.1016/J.FOODRES.2008.08.005>
57. Turhan, K. N., & Şahbaz, F. (2004). Water vapor permeability, tensile properties and solubility of methylcellulose-based edible films. *Journal of Food Engineering*, 61(3), 459–466. [https://doi.org/10.1016/S0260-8774\(03\)00155-9](https://doi.org/10.1016/S0260-8774(03)00155-9)
58. Turhan, K., Sahbaz, F., & Güner, A. (2001). A Spectrophotometric Study of Hydrogen Bonding in Methylcellulose-based Edible Films Plasticized by Polyethylene Glycol. *Journal of Food Science*, 66, 59–62. <https://doi.org/10.1111/j.1365-2621.2001.tb15581.x>
59. Xiaodong Cao, Hua Dong, and, & Li, C. M. (2007). New Nanocomposite Materials Reinforced with Flax Cellulose Nanocrystals in Waterborne Polyurethane. <https://doi.org/10.1021/BM0610368>
60. Zahed Karkaj, S., Peighambarioust, S. J. (2018). Physical, mechanical and antibacterial properties of nanobiocomposite films based on carboxymethyl cellulose/nanoclay. *Iranian Journal of Polymer Science and Technology* (In Persian) 30 (6), 557-572.